



中华人民共和国国家标准

GB/T 24276—2009/IEC/TR 60890:1987

评估部分型式试验的低压成套开关设备 和控制设备(PTTA)温升的外推法

A method of temperature-rise assessment by extrapolation
for partially type-tested assemblies(PTTA)
of low-voltage switchgear and controlgear

(IEC/TR 60890:1987, IDT)

2009-06-19 发布

2010-02-01 实施

中华人民共和国国家质量监督检验检疫总局
中国国家标准化管理委员会发布

目 次

前言	III
引言	IV
1 总则	1
1.1 范围	1
1.2 目的	1
2 规范性引用文件	1
3 使用条件	1
4 计算程序	1
4.1 必备资料	1
4.2 计算方法	2
5 设计的评估	4
附录 A (资料性附录) 计算外壳内空气温升的实例	12
附录 B (规范性附录) 导体的工作电流和功率损耗	17

前　　言

本标准等同采用 IEC/TR 60890, 1987《评估部分型式试验的低压成套开关设备和控制设备(PTTA)温升的外推法》及其修订 1 IEC/TR 60890, 1987/Amd1, 1995。

按照 GB/T 1.1—2000 和 GB/T 20000.2 的规定, 本标准做了如下编辑性修改:

- a) 删除了国际标准的前言;
- b) 将国际标准前言中的规范性引用文件作为本标准第 2 章;
- c) 将国际标准中第 1 章“引言”提取出来单独编辑, 将第 2 章“范围”、第 3 章“目的”放入本标准第 1 章作为“总则”;
- d) 章节号依次前提;

本标准的附录 A 为资料性附录, 附录 B 为规范性附录。

本标准由中国电器工业协会提出。

本标准由全国低压成套开关设备和控制设备标准化技术委员会(SAC/TC 266)归口。

本标准主要起草单位: 浙江省麦格电气有限公司、深圳市宝安任达电器实业有限公司、福建俊豪电子有限公司、天津天传电控配电有限公司、珠海经济特区光乐电控设备厂、北京国电康能科技有限公司、浙江昌泰电力开关有限公司。

本标准主要起草人: 王春娟、郑程遥、汤珍敏、傅汉水、王阳、郑光乐、李达、李小松。

本标准为首次发布。

引　　言

GB 7251.1—2005/IEC 60439-1:1999《低压成套开关设备和控制设备 第1部分：型式试验和部分型式试验成套设备》对型式试验项目中的温升试验方法作了规定。然而，对于那些不适合做温升试验而且从经济角度讲做温升试验也不合理的某些类型的成套设备，可以根据来自另一台成套设备的试验数据用外推法计算温升以替代温升试验。这类成套设备被称为部分型式试验成套设备(PTTA)。

有几种不同的计算方法可以采用。本标准中选取的因数和系数是从对多台成套设备的测试中得出的，并且经过与试验结果对比，对此方法进行了验证。本标准描述的计算方法可以用来验证部分型式试验成套设备(PTTA)与 GB 7251.1—2005 中 8.2.1 的一致性。

本标准仅适用于部分型式试验成套设备(PTTA)。

评估部分型式试验的低压成套开关设备 和控制设备(PTTA)温升的外推法

1 总则

1.1 范围

本标准规定了确定部分型式试验的低压成套开关设备和控制设备(PTTA)温升的外推法。本标准适用于封闭式部分型式试验的低压成套开关设备和控制设备(PTTA)或不带强迫通风的PTTA的分隔式柜架单元。

注1: 在温度稳定的情况下,外壳通常使用的材料和壁厚的影响可以忽略不计。本标准适用于钢板、铝板、铸铁、绝缘材料和类似材料制作的外壳。

注2: 对于部分型式试验的开启式和固定面板式成套设备,如果明显不会出现过热,则不必进行温升评估。

1.2 目的

本标准用来确定外壳内空气的温升。

注: 外壳内空气的温度等于外壳外部的周围空气温度加上外壳内由于设备功率损耗导致空气的温升。如果没有其他规定,PTTA外部空气的温度是指户内安装式PTTA规定的空气温度值35 °C(24 h平均温度)。如果PTTA使用场地的周围空气温度超过35 °C,这个较高的温度被视为PTTA的周围空气温度。

2 规范性引用文件

下列文件中的条款通过本标准的引用而成为本标准的条款。凡是注日期的引用文件,其随后所有的修改单(不包括勘误的内容)或修订版均不适用于本标准,然而,鼓励根据本标准达成协议的各方研究是否可使用这些文件的最新版本。凡是不注日期的引用文件,其最新版本适用于本标准。

GB 7251.1—2005 低压成套开关设备和控制设备 第1部分:型式试验和部分型式试验成套设备(IEC 60439-1:1999, IDT)

GB 14048.1 低压开关设备和控制设备 第1部分:总则(GB 14048.1—2006, IEC 60947-1:2001, MOD)

3 使用条件

如果满足下述使用条件,本计算方法才适用:

- 外壳内功率损耗近似均匀分布;
- 内装设备的布局使空气流通几乎没有阻碍;
- 内装设备的设计为直流或交流≤60 Hz,总电流不超过3 150 A;
- 承载大电流的导体和结构部件的布局使涡流损耗可以忽略不计;
- 带通风口的外壳,其排风口的截面积至少是进风口截面积的1.1倍;
- PTTA或其柜架单元中的水平隔板不多于3个;
- 带外部通风口的外壳如果有隔室,则每个水平隔板上通风口的表面应至少是隔室水平截面积的50%。

4 计算程序

4.1 必备资料

以下为计算外壳内空气温升的必备资料:

- 外壳尺寸：高×宽×深；
- 与图 4 相符的外壳安装形式；
- 外壳的设计，例如带或不带通风口；
- 内部水平隔板的数量；
- 外壳内装设备的有效功率损耗；
- 导体的功率损耗 P_d ，根据附录 B 来确定。

注：本计算方法采用的部分型式试验成套设备电路中安装的设备的有效功率损耗是从制造商提供的资料中选取的不同电路额定电流的功率损耗。

4.2 计算方法

对表 1 中第 4 栏和第 5 栏规定的外壳，其壳内空气的温升是用表 1 中第 1 栏～第 3 栏给出的公式进行计算。

相关的系数和指数(特性)从表 1 中第 6 栏～第 10 栏中获取。

符号、单位和名称在表 2 中获取。

对于带有一个以上柜架单元且柜架单元上具有垂直隔板的外壳，其壳内空气的温升应分别由每个柜架单元确定。

如果外壳不带垂直隔板或没有单独的柜架单元，且其有效散热面大于 11.5 m^2 ，或其宽度大于 1.5 m ，则应划分成假想的柜架单元进行计算，其尺寸与上述柜架单元近似。

注：表 6 给出的公式可以用来辅助计算。

4.2.1 外壳有效散热面积 A_s 的确定

按照表 1 中第 1 栏的公式(1)进行计算。

外壳的有效散热面积 A_s 等于各个表面积 A_b 乘以表面系数 b 的总和。此表面系数根据外壳安装形式考虑了各个面积的散热能力。

4.2.2 外壳内中间高度处空气温升 Δt_{z_0} 的确定

按照表 1 中第 2 样的公式(2)进行计算。

在公式(2)中，外壳系数 k 考虑了不带通风口的外壳有效散热面积的尺寸和带通风口的外壳进气口截面积。

外壳内出现的温升与有效功率损耗 P 的函数关系用指数 x 表示。

系数 d 考虑了温升与内部水平隔板数量的函数关系。

4.2.3 外壳内顶部空气温升 Δt_{t_0} 的确定

按照表 1 中第 3 样的公式(3)进行计算。

系数 c 考虑了外壳内温度的扩散，它根据下述成套设备的设计与安装来确定：

- 不带通风口的外壳，
且有效散热面积：
在此：

$$A_s > 1.25 \text{ m}^2 \quad f = \frac{h^{1.3}}{A_b}$$

- 带通风口的外壳，
且有效散热面积：
在此：

$$A_s > 1.25 \text{ m}^2 \quad f = \frac{h^{1.3}}{A_b}$$

- 不带通风口的外壳，
且有效散热面积：
在此：

$$A_s \leq 1.25 \text{ m}^2 \quad g = \frac{h}{w}$$

式中：

h ——外壳高度，单位为米(m)；

A_b ——外壳底面积，单位为平方米(m²)；

w ——外壳宽度，单位为米(m)。

4.2.4 外壳内空气温升特性曲线

为了按第5章对设计进行评估，有必要采用4.2.2和4.2.3的计算结果以及随外壳高度变化的外壳内空气温升特性曲线。水平位置上的空气温升几乎是个常数。

4.2.4.1 有效散热面积 $A_r > 1.25 \text{ m}^2$ 的外壳温升特性曲线

根据一般规则，用一条从 $\Delta t_{1/2}$ 到 $\Delta t_{L/2}$ 的直线可以非常精确地确定温升特性曲线(见图1)。

外壳底部的内部空气温升几乎为零，即特性曲线平滑连接至零(实际上，特性曲线的虚线部分是次要的)。

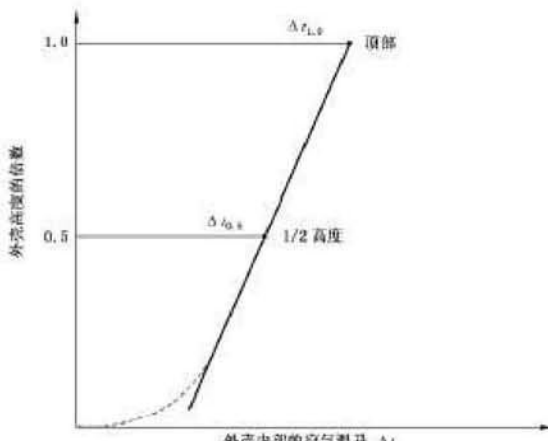


图 1 $A_r > 1.25 \text{ m}^2$ 的外壳温升特性曲线

4.2.4.2 有效散热面积 $A_r \leq 1.25 \text{ m}^2$ 的外壳温升特性曲线

对于此类外壳，在底部 $1/4$ 处的最大温升是恒定的，而且 $\Delta t_{1/4}$ 和 $\Delta t_{0.5}$ 的值是相同的(见图2)。

将外壳 0.75 和 0.5 高度位置的温升值连接起来得到特性曲线(见图2)。

外壳底部的内部空气温升几乎为零，即特性曲线平滑连接至零(实际上，特性曲线的虚线部分是次要的)。

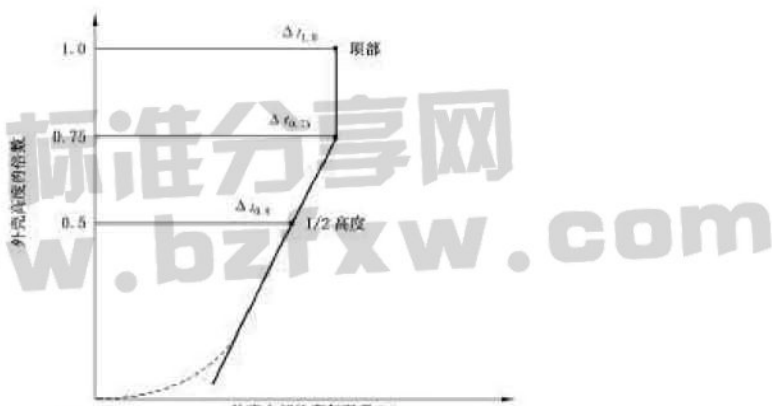


图 2 $A_r \leq 1.25 \text{ m}^2$ 的外壳温升特性曲线

5 设计的评估

应确定PTTA内的设备在计算出的温升条件下能否正常运行。

如果不能,应修改参数并重新计算。

表 1 计算方法、用途、公式和特性

1	2	3	4	5	6	7	8	9	10	11
计算公式			外壳		特性					特性曲线
有效散热面积 A_o	空气温升		有效散热面积 A_o		系数				指数	平滑的温升特性曲线
	外壳内 中间高度	外壳内 顶部			b 见	k 见	d 见	c 见	x	
$A_o = \frac{\Delta t_{a,b}}{\sum(A_n \cdot b) + k \cdot d \cdot P^x}$	$\Delta t_{a,b} = c \cdot \Delta t_{h,i}$	$\Delta t_{h,i} =$ $> 1.25 \text{ m}^2$ $\leq 1.25 \text{ m}^2$			不带通风口的外壳	图 3	表 4	图 4	0.804	见 4.2.4.1
					带通风口的外壳	表 5	表 5	图 6	0.715	
					不带通风口的外壳	图 7	—	图 8	0.804	见 4.2.4.2

符号、单位和名称见表 2。

表 2 符号、单位和名称

符 号	单 位	名 称
A_o	m^2	外壳外表面积
A_b	m^2	外壳底部面积
A_s	m^2	外壳的有效散热面积
b	—	表面系数
c	—	温度的分布系数
d	—	外壳内水平隔板的温升系数
f	—	高/底比系数
g	—	高/宽比系数
h	m	外壳高度
k	—	外壳系数
n	—	内部水平隔板的数量(不多于 3 个隔板)
p	w	外壳内装设备的有效功率损耗
w	m	外壳宽度
x	—	指数
Δt	K	外壳内部的空气总温升
$\Delta t_{a,b}$	K	外壳中间高度(内部)的空气温升
$\Delta t_{a,n}$	K	外壳 3/4 高度处(内部)的空气温升
$\Delta t_{a,t}$	K	外壳顶部(内部)的空气温升

表 3 安装形式对应的表面系数 b

安 装 形 式	表 面 系 数 b
裸露的顶部表面	1.4
封闭的顶部表面,例如嵌入外壳表面	0.7
裸露的侧表面,例如前面、后面和侧面	0.9
封闭的侧表面,例如墙上安装式外壳的背面	0.5

表 3 (续)

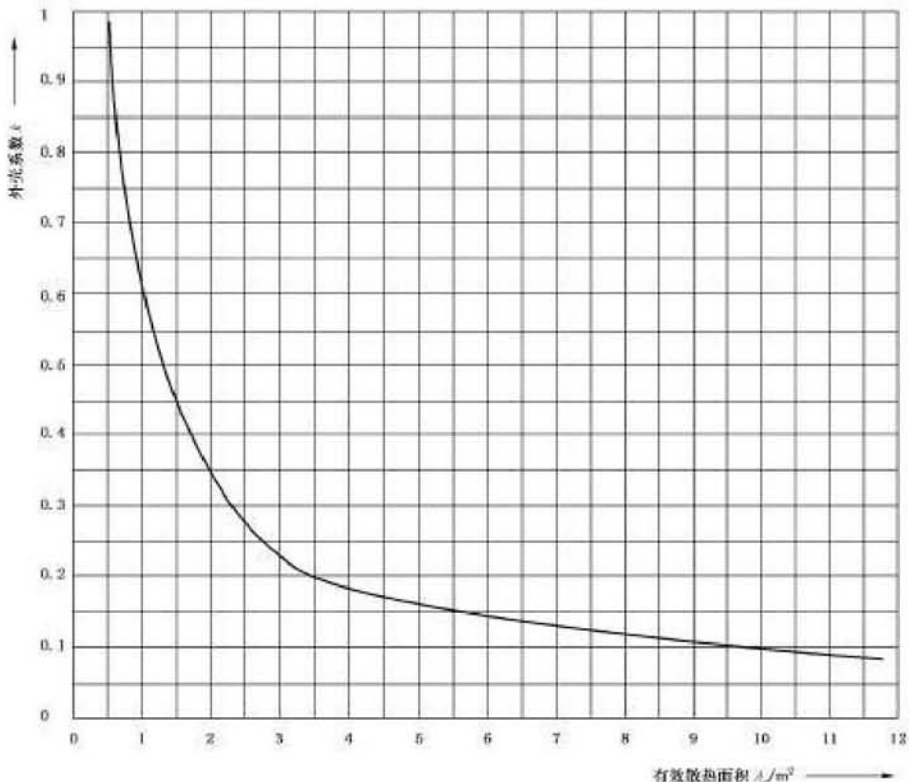
安装形式	表面系数 <i>b</i>
中间外壳的侧面	0.5
底表面	不考虑
仅为计算目的而引用的框架单元的假想隔壁(见 4.2)不考虑在内。	

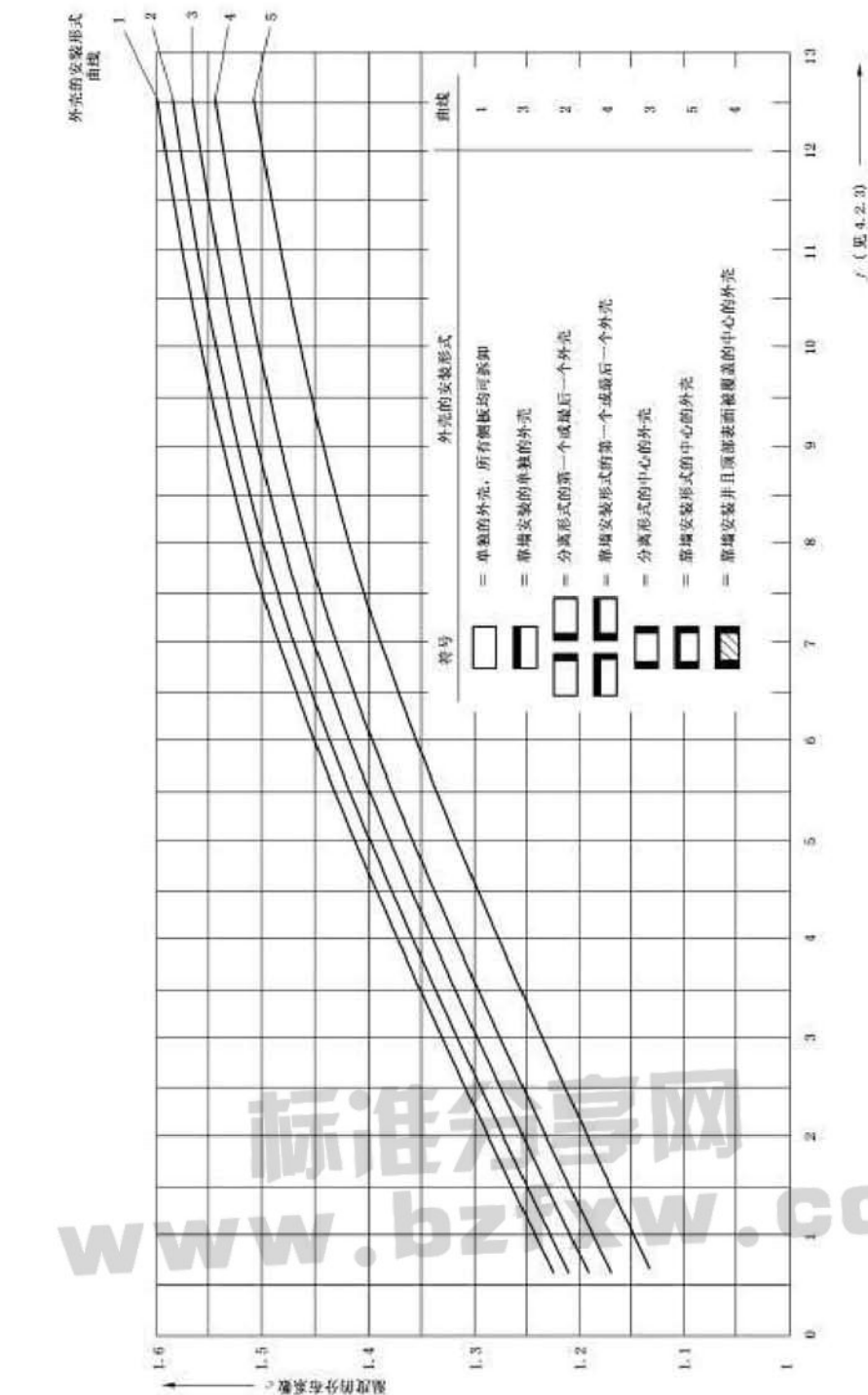
表 4 不带通风口、有效散热面积 $A_e > 1.25 \text{ m}^2$ 的外壳的系数 *d*

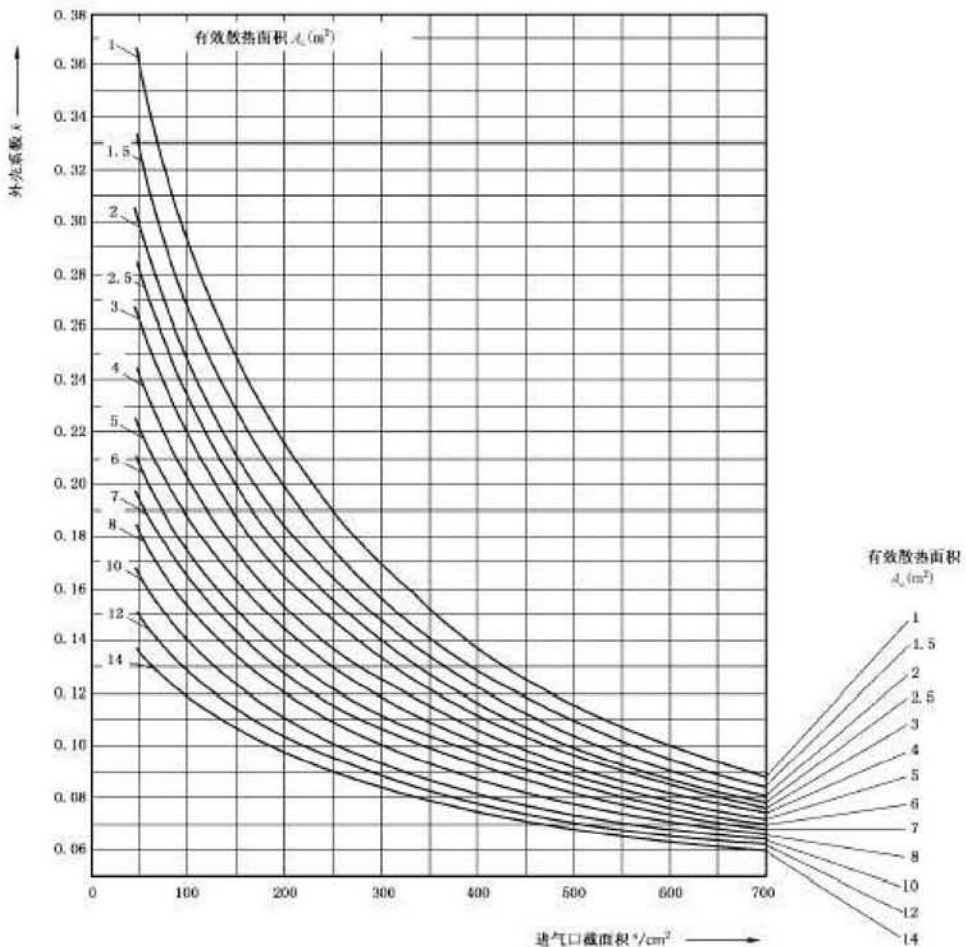
水平隔板的数量 <i>n</i>	0	1	2	3
系数 <i>d</i>	1.00	1.05	1.15	1.30

表 5 带通风口、有效散热面积 $A_e > 1.25 \text{ m}^2$ 的外壳的系数 *d*

水平隔板的数量 <i>n</i>	0	1	2	3
系数 <i>d</i>	1.00	1.05	1.10	1.15

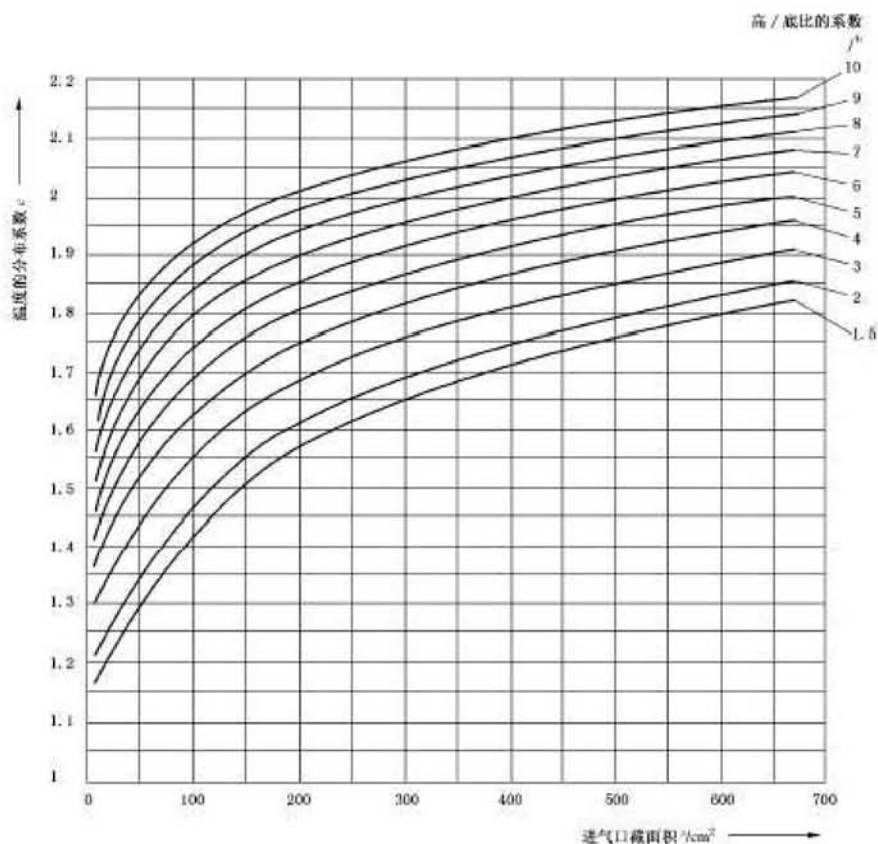
图 3 外壳不带通风口、有效散热面积 $A_e > 1.25 \text{ m}^2$ 的外壳系数 *k*





^a 排气口的截面积至少是进气口 截面积的 1.1 倍。

图 5 外壳带通风口,有效散热面积 $A_e > 1.25 \text{ m}^2$ 的外壳系数 k



^a 排气口的截面积至少是进气口截面积的 1.1 倍。

^b 高/底比的系数,见 4.2.3。

图 6 带通风口,有效散热面积 $A_e > 1.25 \text{ m}^2$ 的外壳温度分布系数 c

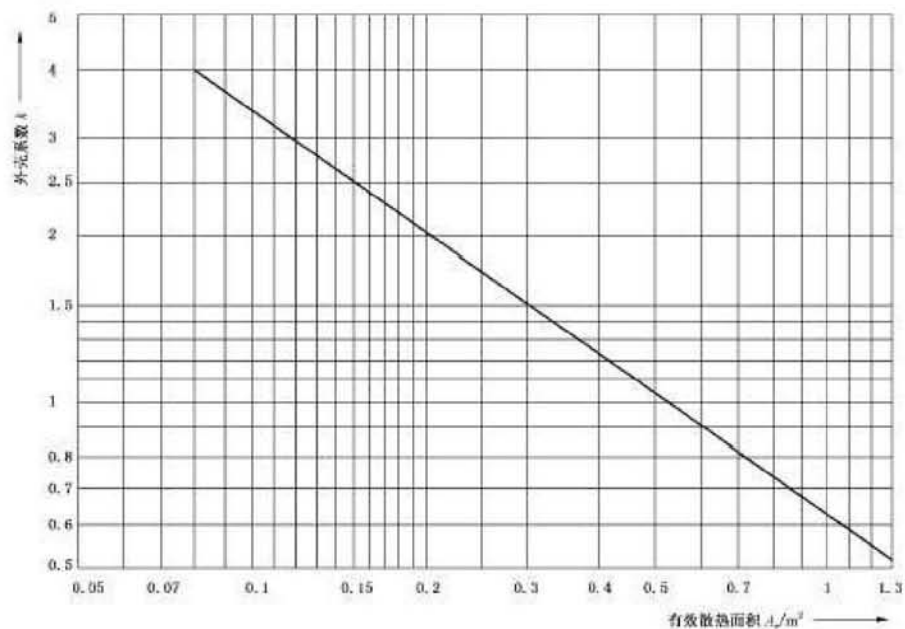


图 7 外壳不带通风口, 有效散热面积 $A_e \leq 1.25 m^2$ 的外壳系数 k

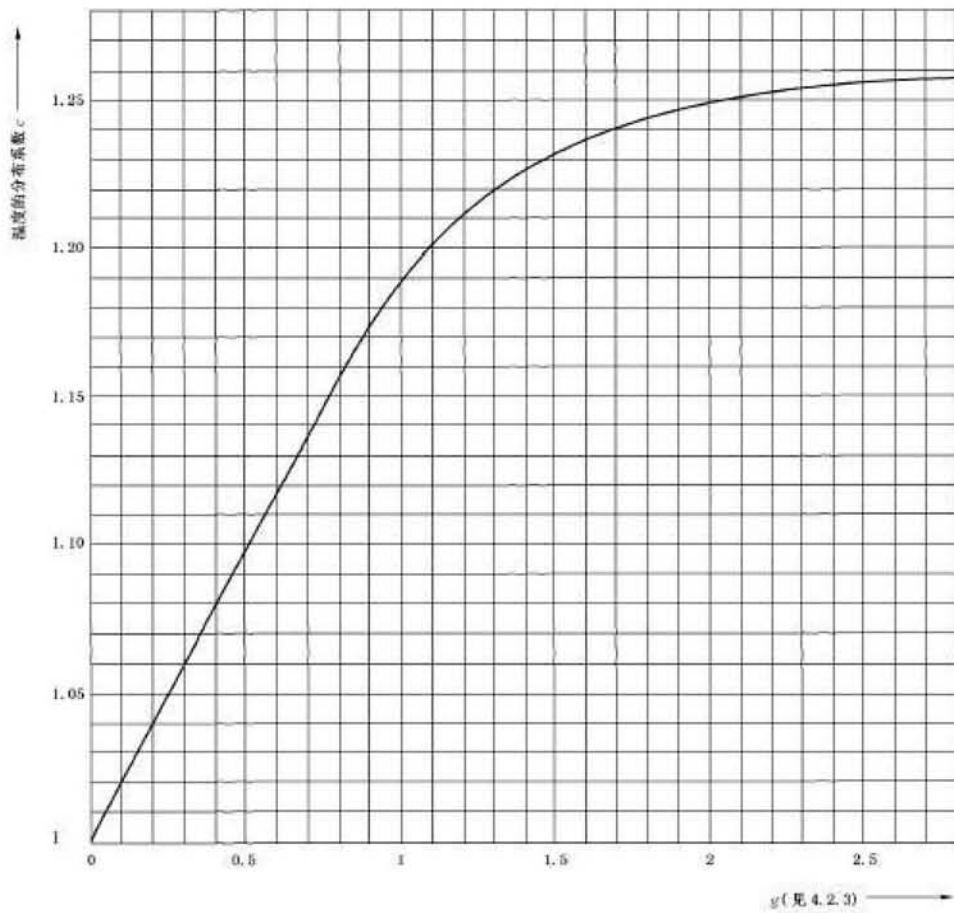
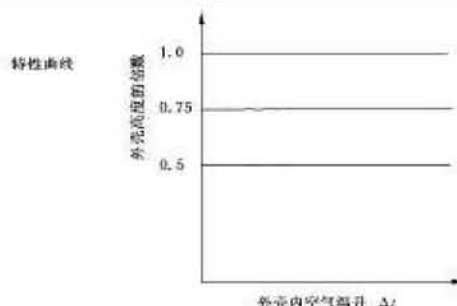


图 8 不带通风口,有效散热面积 $A_s \leq 1.25 \text{ m}^2$ 的外壳温度分布系数 c

表 6 外壳内空气温升的计算

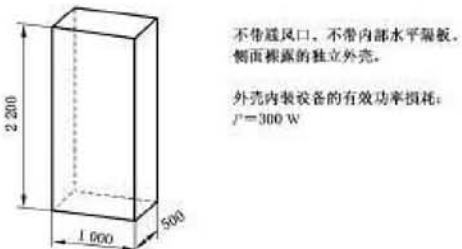
用户/生产厂					
外壳类型					
温升的相关尺寸	高 mm	安装形式:			
	宽 mm	通风口:		有/无	
	深 mm	水平隔板的数量:			
有效散热面积		尺寸	A_o	符合表 3 的表面系数 b	$A_o \times b$ (列 3) \times (列 4)
		$m \times m$	m^2		
		2	3		
	顶部				
	面部				
	背部				
	左侧				
	$A_e = \sum (A_o \times b) =$ 总量				
有效散热面积 A_e					
$> 1.25 m^2$			$\leq 1.25 m^2$		
$f = \frac{h^{1.0}}{A_o}$ (见 4.2.3)			$g = \frac{h}{w}$ (见 4.2.3)		
$= \text{_____} =$			$= \text{_____} =$		
进气口	cm^2				
外壳系数 k					
水平隔板的系数 d					
有效功率损耗 P	W				
$P^* = P \dots$					
$\Delta t_{0.5} = k \cdot d \cdot P^*$	K				
温度的分布系数 c					
$\Delta t_{1.0} = c \cdot \Delta t_{0.5}$	K				



附录 A (资料性附录)

1

单位为毫米



七

(数值见表 A.1)

——按照 4.2.1 确定外壳的有效散热面积 A_s 。

用从表3中获取的外壳尺寸和表面系数 b 计算各个单独的面积。

—按照 4.2.2 确定空气温升 Δt_{air}

从表 1 中第 2 栏得到公式(2):

根据表 1 中第 7 栏, 当 $A \geq 1.25 \text{ m}^2$ 时, 系数 k_1 如图 3 所示:

当 $A_s = 6.64 \text{ m}^2$ 时, $k = 9.135$

根据表 1 中第 8 栏, 当 $A \geq 1.25 \text{ m}^2$ 时, 系数 d 如表 4 所规定。

当水平隔板数量 = 9 时, $d = 1.9$

有效功率损耗(按规定) $P = 300 \text{ W}$

当 $A > 1.25 \text{ m}^2$ 时, 从表 1 由第 10 栏得到指数 $x = 0.804$

将这些值代入公式(2)中,可得到如下结果:

$$\Delta t_c = k \cdot d \cdot P^* = 0.135 \pm 1.0 \cdot 300^{+0.004}$$

$$\Delta t_{\text{ref}} = 13.24 \text{ K} \approx 13.2 \text{ K}$$

—按照 4.2.3 确定空气温升 Δt_{air}

从表 1 中第 3 栏得到公式(3):

根据表1中第9栏,当 $A_s \geq 1.25 \text{ m}^2$ 时,系数 c 如图4所示:

$$f = \frac{h^{1.21}}{A_1} = \frac{2.2^{1.21}}{1.0 \times 0.5} = 5.80$$

根据图4,曲线1为:

c = L 44

将这些值代入公式(3)中,可得到如下结果:

$$\Delta t_{1,2} = c \cdot \Delta t_{1,1} = 1,44 \cdot 13,24 = 19,07 \text{K} \approx 19,1 \text{K}$$

—按照 4.2.4.1 确定 $A \geq 1.25 \text{ m}^2$ 的外壳温升特性曲线(见表 A.1)。

——按照第5章对设计进行评估。

应验正安装在壳体内的设备在指定的电流和计算出的温升条件下，考虑到周围空气温度

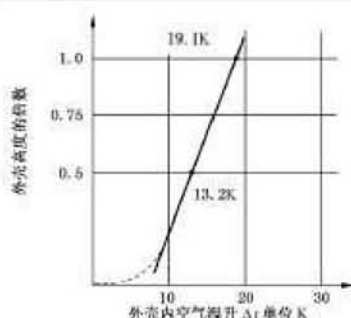
(见 1.2, 注) 时, 是否能正常运行。

如果不能, 应修改参数并重新计算。

表 A.1 外壳内空气温升的计算示例 1

用户/生产厂		示例 1			
外壳类型: 独立外壳					
温升的 相关尺寸	高 宽 深	2 200 1 000 500	mm mm mm	安装形式: 所有侧面均可拆卸式 通风口: 无 水平隔板的数量: 0	
有效散 热面积		尺寸	A_a	符合表 3 的 表面系数 b	$A_a \times b$
		$m \times m$	m^2		m^2
		2	3	4	5
	顶部	1.0 × 0.5	0.500	1.4	0.700
	面部	1.0 × 2.2	2.200	0.9	1.980
	背部	1.0 × 2.2	2.200	0.9	1.980
	左侧	0.5 × 2.2	1.100	0.9	0.990
	右侧	0.5 × 2.2	1.100	0.9	0.990
$A_a = \sum (A_a \times b)$ 总量					6.640
有效散热面积 A_s					
$> 1.25 \text{ m}^2$			$\leq 1.25 \text{ m}^2$		
$f = \frac{h^{1.0}}{A_a}$ (见 4.2.3)			$g = \frac{h}{w}$ (见 4.2.3)		
$=$			$=$		
进气口	cm^2		0		
外壳系数 k	0.135				
水平隔板的系数 d	1.0				
有效功率损耗 P	W		300		
$P^* = P^{0.99}$	98.09				
$\Delta t_{0.5} = k \cdot d \cdot P^*$	K		13.24 K ≈ 13.2 K		
温度的分布系数 c	1.44				
$\Delta t_{1.0} = c \cdot \Delta t_{0.5}$	K		19.07 K ≈ 19.1 K		

特性曲线:



例 2

带通风口的墙上安装式外壳，

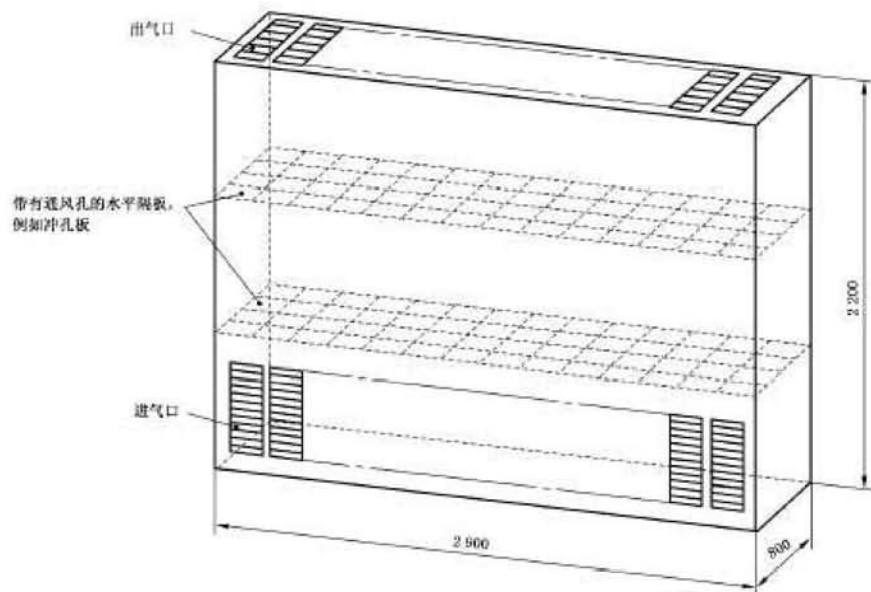
$$\text{进气口的截面积} = 1\ 200 \text{ cm}^2$$

$$\text{出气口的截面积} = 1\ 800 \text{ cm}^2$$

外壳内带有两个水平隔板。每个水平隔板都带通风孔，例如用冲孔板，其截面积大于外壳截面积的 50%。

外壳内装设备的有效功率损耗： $P=2\ 200 \text{ W}$

单位为毫米

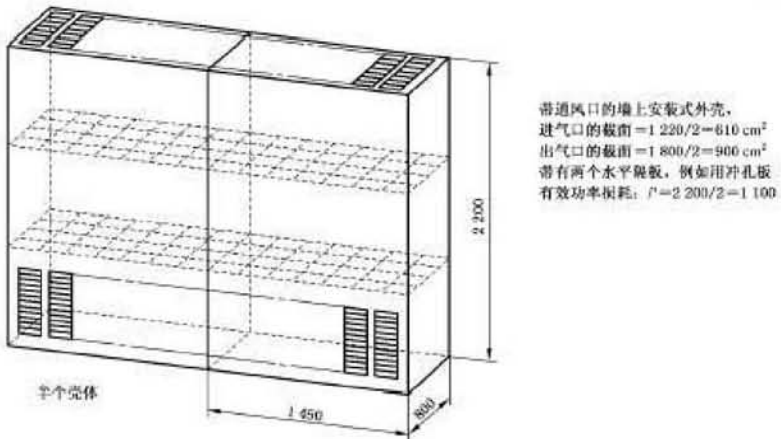


计算方法

(数值见表 A.2)

- 已知外壳的预期散热面积大于 11.5 m^2 ，外壳宽度超过 1.5 m ，为了计算目的，按照 4.2 将整个外壳分成几个部分(部分外壳)。为了简化程序，如果不可能从结构上进行分割，本例可以将整个外壳分成两个相等的部分(半个外壳)。为了在计算中将两个部分分开计算，假设功率损耗和通风口均匀地分布于两个相等的部分上(半个外壳)。
只需对半个外壳进行计算，其结果适用于另外半个外壳。
- 根据 4.1，有关半个外壳的必备资料。

单位为毫米



—按照 4.2.1 确定每半个外壳的有效散热面积 A_s 。

用从表 3 中获取的外壳尺寸和表面系数 b 计算各个单稳的面积。

根据表3,半个外壳与另外半个外壳假设的分界面不予考虑。

—按照 4.2.2 确定空气温升 $\Delta t_{2,3}$ 。

从表 1 中第 2 栏得到公式(2):

根据表 1 中第 7 栏, 当 $A_s > 1.25 \text{ m}^2$ 时, 系数 k 如图 5 所示:

当进气口为 610 cm^2 , $A_s = 7.674 \text{ m}^2$ 时, $k = 0.071$

根据表 1 中第 8 栏, 当 $A_i > 1.25 \text{ m}^2$ 时, 系数 d 如表 5 所规定:

当水平隔板数量=2时, $d=1, 10$

有效功率损耗(按规定) $P=1\text{ 100 W}$

当 $A_s \geq 1.25 \text{ m}^2$ 时, 从表 1 中第 19 栏得到指数 $x = 0.715$

将这些值代入公式(2)中,可得到如下结果:

$$\Delta t_{\pm 1} = k \cdot d \cdot P^* = 0,071 \cdot 1,10 \cdot 1,100^{0,733}$$

$$\Delta t_{k+1} = 11.67\text{K} \approx 11.7\text{K}$$

—按照 4.2.3 确定空气温升 Δt_{air}

从表 1 中第 3 栏得到公式(3):

根据表1 中第9栏,当 $A_s > 1.25 \text{ m}^2$ 时,系数c如图6所示:

$$f = \frac{h^{1.33}}{A_b} = \frac{2,2^{1.33}}{1.45 \times 0.8} = 2.50$$

根据图6,当进气口为 610 cm^2 时, $c=1.87$

将这些值代入公式(3)中,可得到如下结果:

$$\Delta t_{1,0} = c \cdot \Delta t_{1,1} = 1.87 \cdot 11.67 \text{K} = 21.82 \text{K} \approx 21.8 \text{K}$$

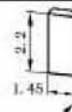
——按照 4.2.4.1 确定 $A_s > 1.25 \text{ m}^2$ 的外壳温升特性曲线(见表 A.2)。

——按照第5章对设计进行评估。

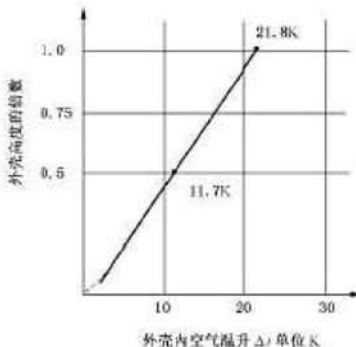
应验证安装在壳体内的设备在指定的电流和计算出的温升条件下，考虑到周围空气温度（见 1.2，注）时，是否能正常运行。

如果不能，应修改参数并重新计算。

表 A.2 外壳内空气温升的计算示例 2

用户/生产厂		示例 2			
外壳类型: 高 2 200 mm, 宽 2 900 mm, 深 800 mm; 外壳均分成两个部分					
抬升的 相关尺寸 (半个外壳)	高	2 200	mm	安装形式: 墙上安装式	
	宽	1 450	mm	通风口:	
	深	800	mm	水平隔板的数量:	
有效散 热面积		尺寸	A_a	符合表 3 的 表面系数 b	$A_a \times b$
		$m \times m$	m^2		m^3
		2	3	4	5
	顶部	1.45 × 0.8	1.160	1.4	1.624
	面部	1.45 × 2.2	3.190	0.9	2.871
	背部	1.45 × 2.2	3.190	0.5	1.595
	左侧	0.8 × 2.2	1.760	0.0	—
	右侧	0.8 × 2.2	1.760	0.9	1.584
	$A_e = \sum (A_a \times b) =$ 总量				7.674
有效散热面积 A_e					
$> 1.25 \text{ m}^2$			$\leq 1.25 \text{ m}^2$		
$f = \frac{h^{1.33}}{A_a}$ (见 4.2.3) $= \frac{2.5^{1.33}}{1.45 \times 0.8} = 2.50$			$g = \frac{h}{w}$ (见 4.2.3) $= \frac{2.5}{1.45} = 1.74$		
进气口	cm^2		1 220/2=610		
外壳系数 k	0.071				
水平隔板的系数 d	1.0				
有效功率损耗 P	W		2 200/2=1 100		
$P^e = P^{0.73}$	149.48				
$\Delta t_{0.5} = k \cdot d \cdot P^e$	K		11.67 K≈11.7 K		
温度的分布系数 c	1.87				
$\Delta t_{1.0} = c \cdot \Delta t_{0.5}$	K		21.82 K≈21.8 K		

特性曲线



附录 B
(规范性附录)
导体的工作电流和功率损耗

在表 B.1、表 B.2 和表 B.3 中是以下述内容为基础给出了功率损耗值：

- 导体最大允许温度
- 外壳内导体周围的空气温度
- 工作电流

表 B.1 和表 B.3 还以 GB 14048.1 给出的铜导体截面积为基础。

在导体负载较低时可以使用下面公式：

$$P = P_s \left(\frac{I}{I_s} \right)^2$$

式中：

P ——功率损耗，单位为瓦每米(W/m)；

I ——导体电流(负载)；

I_s ——工作电流；

P_s ——在 I_s 时的功率损耗。

表 B.1 绝缘导体的工作电流和功率损耗

1	2	3	4	5	6	7	8	9	10	11	12	13
导体最高允许温度 70 °C												
壳体内导体周围的空气温度												
(铜)												
	35 °C		55 °C		35 °C		55 °C		35 °C		55 °C	
mm ²	A	W/m	A	W/m								
1.5	12	2.1	8	0.9	12	2.1	8	0.9	12	2.1	8	0.9
2.5	17	2.5	11	1.1	20	3.5	12	1.3	20	3.5	12	1.3
4	22	2.6	14	1.1	25	3.4	18	1.8	25	3.4	20	2.2
6	28	2.8	18	1.2	32	3.7	23	1.9	32	3.7	25	2.3
10	38	3.0	25	1.3	48	4.8	31	2.0	50	5.2	32	2.1
16	52	3.7	34	1.6	64	5.6	42	2.4	65	5.8	50	3.4
25					85	6.3	55	2.6	85	6.3	65	3.7
35					104	7.5	67	3.1	115	7.9	85	5.0
50					130	7.9	85	3.4	150	10.5	115	6.2

表 B.1(续)

1	2	3	4	5	6	7	8	9	10	11	12	13
导体最高允许温度 70 °C												
壳体内导体周围的空气温度												
截面面积 (铜) mm ²												
		35 °C 工作电流 A	55 °C 工作电流 A		35 °C 工作电流 A	55 °C 工作电流 A		35 °C 工作电流 A	55 °C 工作电流 A		35 °C 工作电流 A	55 °C 工作电流 A
70					161	8.4	105	3.6	175	9.9	149	7.2
95					192	8.7	125	3.7	225	11.9	175	7.2
120					226	9.6	147	4.1	250	11.7	210	8.3
150					275	11.7	167	4.3	275	11.7	239	8.8
185					295	10.9	191	4.6	350	15.4	273	9.4
240					347	12.0	225	5.0	400	15.9	322	10.3
300					400	13.2	260	5.6	450	17.5	371	11.4
辅助电路导体												
						直径						
0.12	2.6	1.2	1.7	0.5	0.4							
0.14	2.9	1.3	1.9	0.6	—							
0.20	3.2	1.1	2.1	0.5	—							
0.22	3.6	1.3	2.3	0.5	0.5							
0.30	4.4	1.4	2.9	0.6	0.6							
0.34	4.7	1.4	3.1	0.6	0.6							
0.50	6.4	1.8	4.2	0.8	0.8							
0.56	6.4	1.6	—	0.7	—							
0.75	8.2	1.9	5.4	0.8	1.0							
1.00	9.3	1.8	6.1	0.8	—							
^a 对于任意敷设方式,此表中所列数值是指多芯线组中有 6 根同时通 100% 负载时的电流值。												
^b 单根。												

可以应用下面的等式计算低载流下导体的功率损耗

$$P = P_a \left(\frac{I}{I_a} \right)^2$$

 P —功率损耗,单位为瓦每米(W/m); I —导体电流(负载); I_a —工作电流; P_a —在 I_a 时的功率损耗。

表 B.2 不直接连接到设备上的垂直敷设的裸导体的工作电流和功率损耗

宽度 × 厚度 mm×mm ³	截 面 积 (铜) mm ²	壳体内导体周围的空气温度 35 °C												壳体内导体周围的空气温度 55 °C											
		50 Hz 到 60 Hz 交流						50 Hz 和交流到 16% Hz						50 Hz 到 60 Hz 交流						50 Hz 和交流到 16% Hz					
		A*	W/m	A**	W/m	A*	W/m	A**	W/m	A*	W/m	A**	W/m	A*	W/m	A**	W/m	A*	W/m	A**	W/m	A*	W/m	A**	W/m
12×2	23.5	144	19.5	242	27.5	144	19.5	242	27.5	105	10.4	177	14.7	105	10.4	177	14.7	105	10.4	177	14.7	105	10.4	177	14.7
15×2	29.5	170	21.7	282	29.9	170	21.7	282	29.9	124	11.6	206	16.0	124	11.6	206	16.0	124	11.6	206	16.0	124	11.6	206	16.0
15×3	44.5	215	23.1	375	35.2	215	23.1	375	35.2	157	12.3	274	18.8	157	12.3	274	18.8	157	12.3	274	18.8	157	12.3	274	18.8
20×2	39.5	215	26.1	351	34.8	215	26.1	351	35.4	157	13.9	256	18.5	157	12.3	256	18.5	157	12.3	256	18.5	157	12.3	256	18.5
20×3	59.5	271	27.6	463	40.2	271	27.6	463	40.2	198	14.7	338	21.4	198	14.7	338	21.4	198	14.7	338	21.4	198	14.7	338	21.4
20×5	99.1	364	29.9	665	49.8	364	29.9	665	50.3	266	16.0	485	26.5	266	16.0	485	26.5	266	16.0	485	26.5	266	16.0	485	26.5
20×10	199	568	36.9	1097	69.2	568	36.7	1107	69.6	414	19.6	890	36.8	415	19.5	890	36.8	415	19.5	890	36.8	415	19.5	890	36.8
25×5	124	435	34.1	779	55.4	435	34.1	785	55.6	317	18.1	568	29.5	317	18.1	568	29.5	317	18.1	568	29.5	317	18.1	568	29.5
30×5	149	504	38.4	894	60.6	505	38.2	899	60.7	368	20.5	652	32.3	369	20.4	652	32.3	369	20.4	652	32.3	369	20.4	652	32.3
30×10	299	762	44.4	1410	77.9	770	44.8	1436	77.8	556	23.7	1028	41.4	562	23.9	1028	41.4	562	23.9	1028	41.4	562	23.9	1028	41.4
40×5	199	641	47.0	1112	72.5	644	47.0	1128	72.3	468	25.0	811	36.5	469	24.9	811	36.5	469	24.9	811	36.5	469	24.9	811	36.5
40×10	399	951	52.7	1716	88.9	968	52.6	1796	90.5	694	28.1	1251	47.3	705	28.0	1251	47.3	705	28.0	1251	47.3	705	28.0	1251	47.3
50×5	249	775	55.7	1322	82.9	782	55.4	1357	83.4	566	29.7	954	44.1	570	29.4	954	44.1	570	29.4	954	44.1	570	29.4	954	44.1
50×10	499	1133	60.9	2008	102.9	1164	61.4	2141	103.8	826	32.3	1465	54.8	849	32.7	1465	54.8	849	32.7	1465	54.8	849	32.7	1465	54.8
60×5	299	915	64.1	1530	94.2	926	64.7	1583	94.6	697	34.1	1116	50.1	675	34.4	1116	50.1	675	34.4	1116	50.1	675	34.4	1116	50.1
60×10	599	1310	68.5	2288	116.2	1357	69.5	2487	117.8	955	36.4	1668	62.0	989	36.9	1668	62.0	989	36.9	1668	62.0	989	36.9	1668	62.0
80×5	399	1177	89.7	1929	116.4	1200	80.8	2035	116.1	858	42.9	1407	61.9	875	42.9	1407	61.9	875	42.9	1407	61.9	875	42.9	1407	61.9
80×10	799	1619	85.0	2806	138.7	1742	85.1	3165	140.4	1203	45.3	2047	73.8	1271	45.3	2047	73.8	1271	45.3	2047	73.8	1271	45.3	2047	73.8
100×5	499	1436	100.1	2301	137.0	1476	98.7	2407	121.2	1048	53.3	1678	72.9	1077	52.5	1678	72.9	1077	52.5	1678	72.9	1077	52.5	1678	72.9
100×10	999	1982	101.7	3286	164.2	2128	102.6	3844	169.9	1445	54.0	2406	84.4	1552	54.6	2406	84.4	1552	54.6	2406	84.4	1552	54.6	2406	84.4
120×10	1200	2314	115.5	3804	187.3	2514	115.9	4509	189.9	1688	61.5	2774	99.6	1833	61.6	2774	99.6	1833	61.6	2774	99.6	1833	61.6	2774	99.6

* 每相一根导体; ** 每相两根导体;^a 单根。

表 B.3 设备和母线间连接用裸导体的工作电流和功率损耗

1	2	3	4	5	6	7	8	9	10
宽度 × 厚度	截 面 积 (铜)	导体最高允许温度 65 °C							
		壳体内导体周围的空气温度 35 °C				壳体内导体周围的空气温度 55 °C			
		50 Hz 到 60 Hz 交流和直流	“ 每相 单根” 功率	50 Hz 到 60 Hz 交流和直流	“ 每相 单根” 功率	50 Hz 到 60 Hz 交流和直流	“ 每相 单根” 功率	50 Hz 到 60 Hz 交流和直流	“ 每相 单根” 功率
mm × mm	mm ²	A*	W/m	A**	W/m	A*	W/m	A**	W/m
12×2	23.5	82	5.9	130	7.4	69	4.2	105	4.9
15×2	29.5	96	6.4	150	7.8	88	5.4	124	5.4
15×3	44.5	124	7.1	202	9.5	162	6.8	162	6.1
20×2	39.5	115	6.9	184	8.9	93	4.5	172	7.7
20×3	59.5	152	8.0	249	10.8	125	5.4	198	6.8
20×5	99.1	218	9.9	348	12.7	174	6.3	284	8.4
20×10	199	348	12.8	648	22.3	284	8.6	532	15.0
25×5	124	293	10.7	413	14.2	204	7.0	338	9.5
30×5	149	285	11.6	492	16.9	233	7.6	402	11.3
30×10	299	482	17.2	960	32.7	402	11.5	780	21.6
40×5	199	348	12.8	648	22.3	284	8.6	532	15.0
40×10	399	648	22.7	1 245	41.9	532	15.3	1 032	28.8
50×5	249	413	14.7	805	27.9	338	9.8	655	18.5
50×10	499	805	28.5	1 560	53.5	660	19.2	1 280	36.0
60×5	299	492	17.2	960	32.7	402	11.5	780	21.6
60×10	599	960	34.1	1 848	63.2	780	22.5	1 524	43.0
80×5	399	648	22.7	1 256	42.6	532	15.3	1 032	28.8
80×10	799	1 256	45.8	2 432	85.8	1 032	30.9	1 920	53.5
100×5	499	805	29.2	1 560	54.8	660	19.6	1 280	36.9
100×10	999	1 560	58.4	2 680	88.2	1 280	39.3	2 180	57.0
120×10	1 200	1 848	68.3	2 928	85.7	1 524	46.5	2 400	57.6

* 每相一根导体；

** 每相两根导体；

* 单根。